

OpenCourseWare

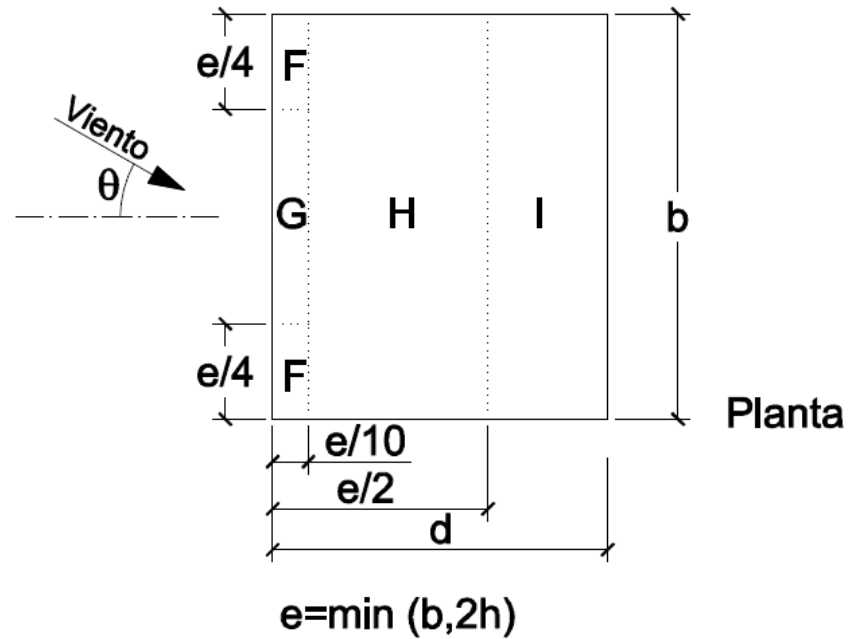
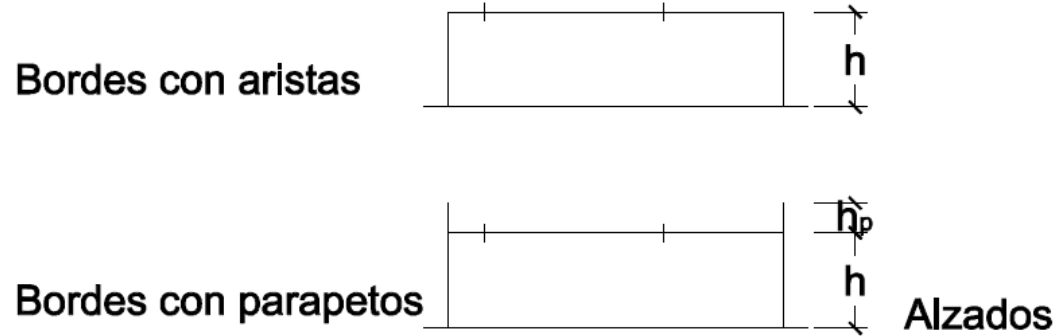
Teoría de Estructuras y Construcciones Industriales

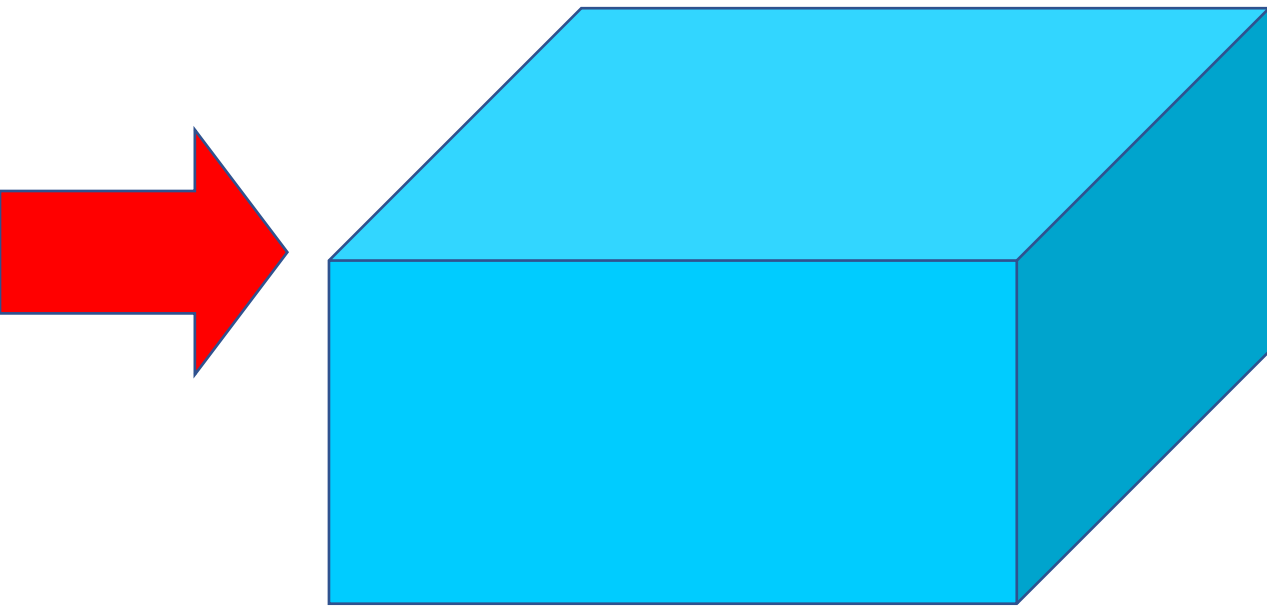
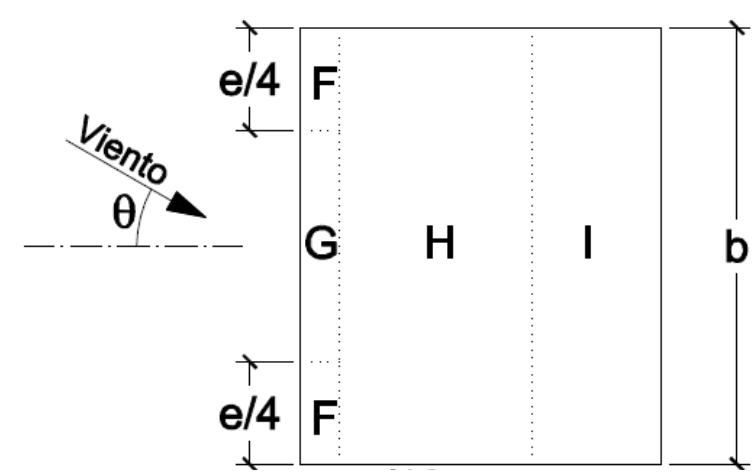
Carlos Santiuste Romero, Sara Garzón Hernández, Liu Jiao Wang,
Manuel Cuadrado Sanguino, Luis Jiménez Girón, Daniel Herrero Adán

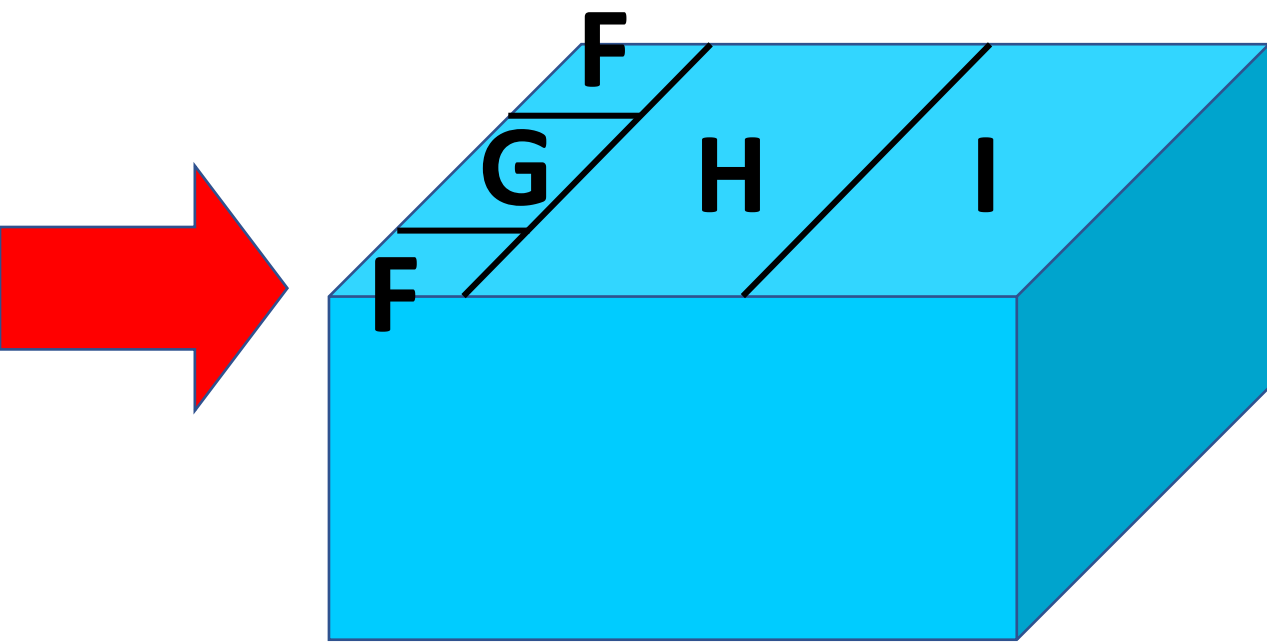
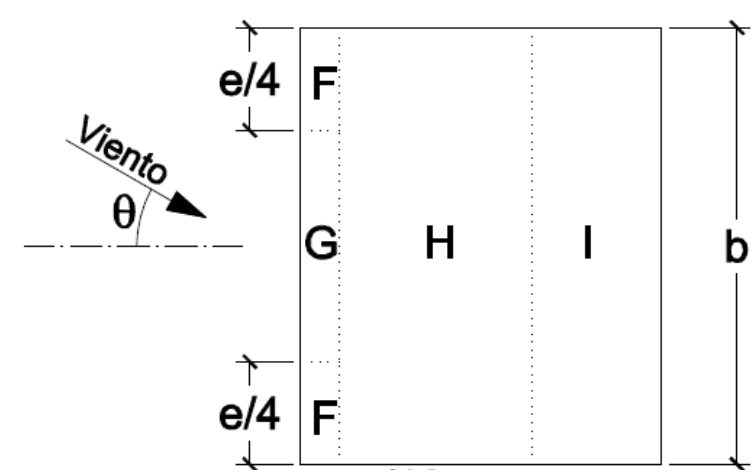
CTE: Coeficientes de presión en cubiertas planas

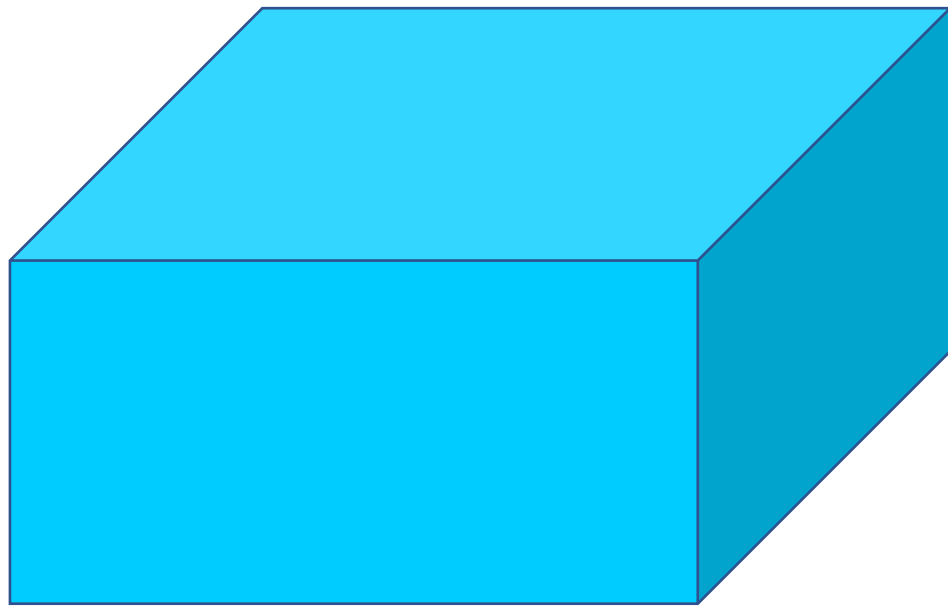
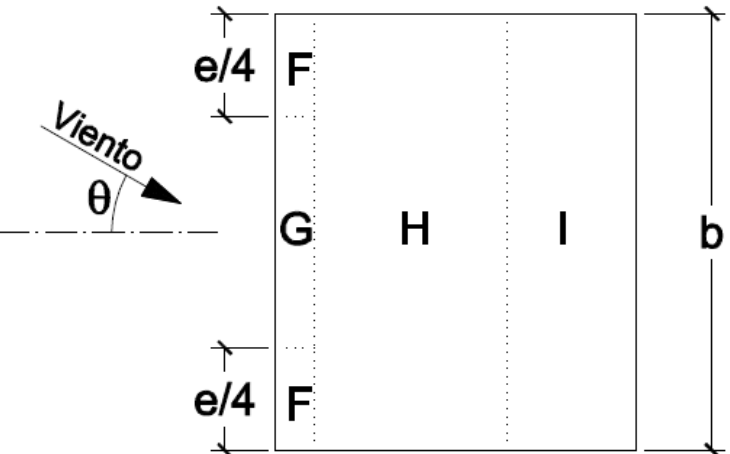


Tabla D4. Cubiertas planas. DB SE-AE p.26









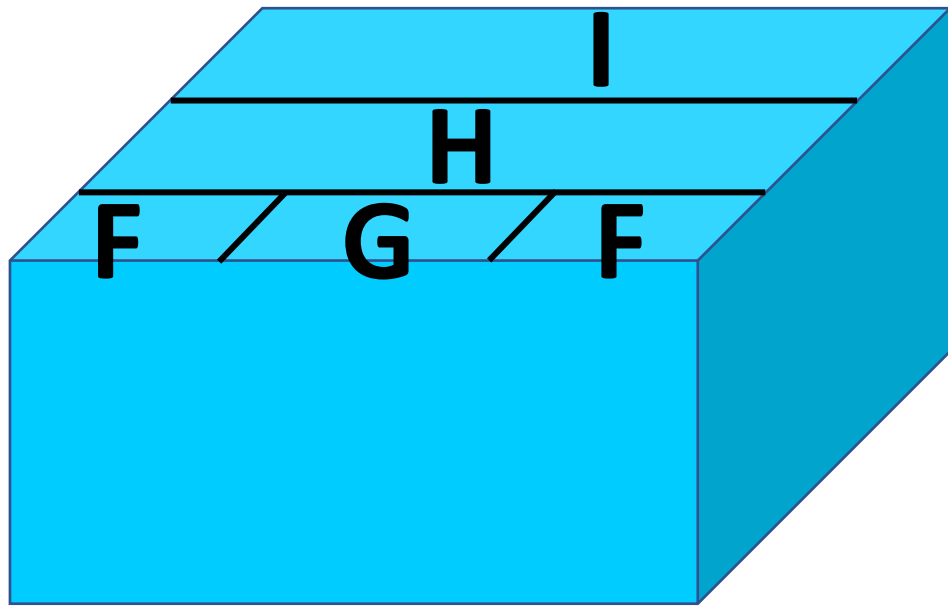
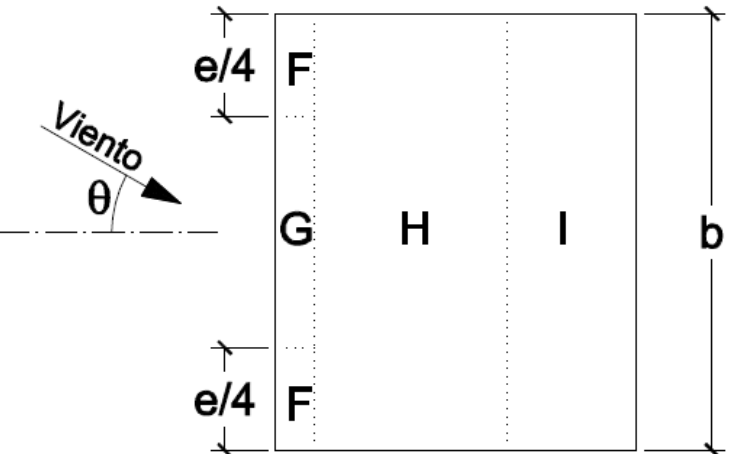
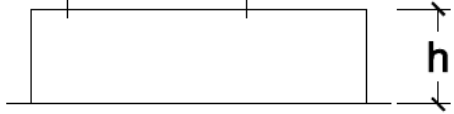
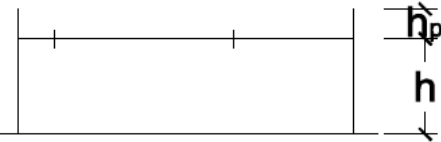


Tabla D4. Cubiertas planas

Bordes con aristas



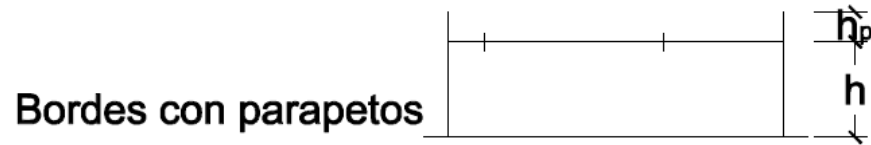
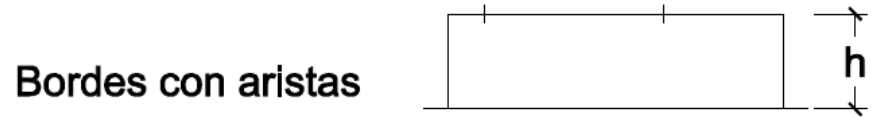
Bordes con parapetos



	h_p/h	A (m ²)	Zona (según figura), $-45^\circ < \theta < 45^\circ$			
			F	G	H	I
Bordes con aristas		≥ 10	-1,8	-1,2	-0,7	0,2 -0,2
		≤ 1	-2,5	-2,0	-1,2	0,2 -0,2
Con parapetos	0,025	≥ 10	-1,6	-1,1	-0,7	0,2 -0,2
		≤ 1	-2,2	-1,8	-1,2	0,2 -0,2
	0,05	≥ 10	-1,4	-0,9	-0,7	0,2 -0,2
		≤ 1	-2,0	-1,6	-1,2	0,2 -0,2
	0,10	≥ 10	-1,2	-0,8	-0,7	0,2 -0,2
		≤ 1	-1,8	-1,4	-1,2	0,2 -0,2

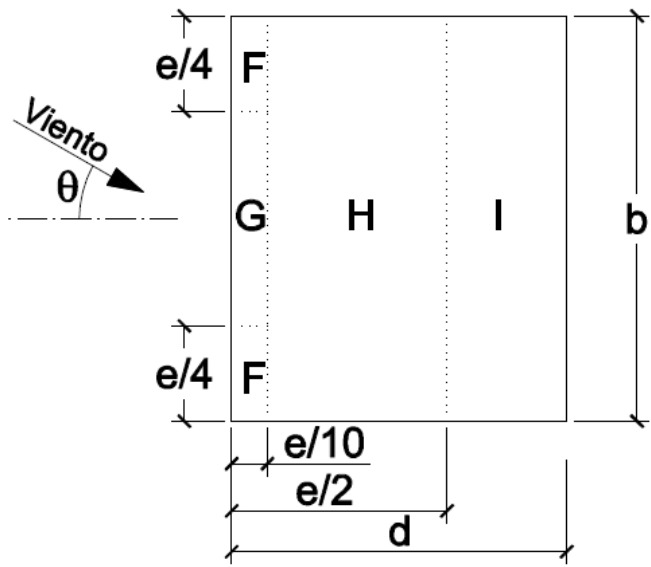
Nota: Se considerarán cubiertas planas aquellas con una pendiente no superior a 5°

Tabla D4. Cubiertas planas



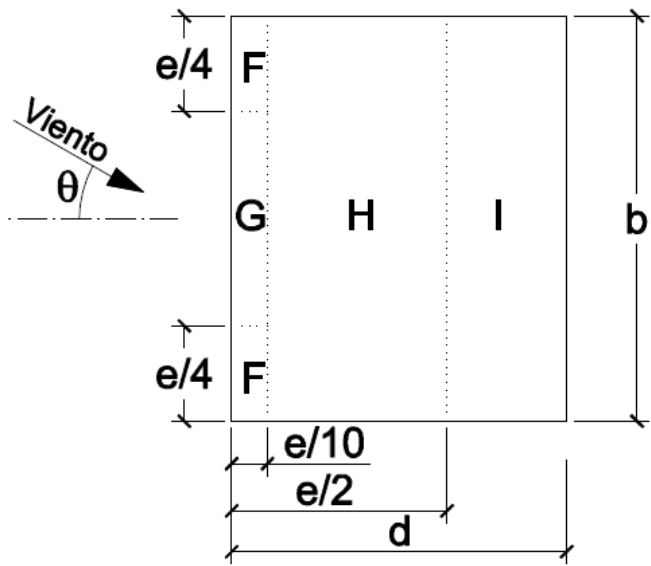
	h_p/h	A (m ²)	Zona (según figura), $-45^\circ < \theta < 45^\circ$			
			F	G	H	I
Bordes con aristas		≥ 10	-1,8	-1,2	-0,7	0,2 -0,2
		≤ 1	-2,5	-2,0	-1,2	0,2 -0,2
Con parapetos	0,025	≥ 10	-1,6	-1,1	-0,7	0,2 -0,2
		≤ 1	-2,2	-1,8	-1,2	0,2 -0,2
	0,05	≥ 10	-1,4	-0,9	-0,7	0,2 -0,2
		≤ 1	-2,0	-1,6	-1,2	0,2 -0,2
0,10	≥ 10	-1,2	-0,8	-0,7	0,2 -0,2	
	≤ 1	-1,8	-1,4	-1,2	0,2 -0,2	

Nota: Se considerarán cubiertas planas aquellas con una pendiente no superior a 5°



$$e = \min(b, 2h)$$

h_p/h	A (m ²)	Zona (según figura), $-45^\circ < \theta < 45^\circ$			
		F	G	H	I
	≥ 10	-1,8	-1,2	-0,7	0,2 -0,2
	≤ 1	-2,5	-2,0	-1,2	0,2 -0,2
0,025	≥ 10	-1,6	-1,1	-0,7	0,2 -0,2
	≤ 1	-2,2	-1,8	-1,2	0,2 -0,2
0,05	≥ 10	-1,4	-0,9	-0,7	0,2 -0,2
	≤ 1	-2,0	-1,6	-1,2	0,2 -0,2
0,10	≥ 10	-1,2	-0,8	-0,7	0,2 -0,2
	≤ 1	-1,8	-1,4	-1,2	0,2 -0,2



$$e = \min(b, 2h)$$

h_p/h	A (m ²)	Zona (según figura), $-45^\circ < \theta < 45^\circ$			
		F	G	H	I
	≥ 10	-1,8	-1,2	-0,7	0,2 -0,2
	≤ 1	-2,5	-2,0	-1,2	0,2 -0,2
0,025	≥ 10	-1,6	-1,1	-0,7	0,2 -0,2
	≤ 1	-2,2	-1,8	-1,2	0,2 -0,2
0,05	≥ 10	-1,4	-0,9	-0,7	0,2 -0,2
	≤ 1	-2,0	-1,6	-1,2	0,2 -0,2
0,10	≥ 10	-1,2	-0,8	-0,7	0,2 -0,2
	≤ 1	-1,8	-1,4	-1,2	0,2 -0,2

Para elementos con área de influencia A, entre 1 m² y 10 m², el coeficiente de presión exterior se puede obtener mediante la siguiente expresión:

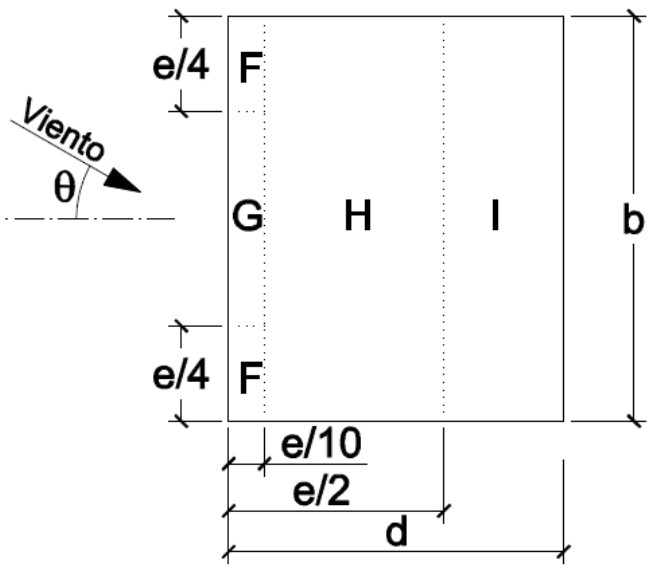
$$C_{pe,A} = C_{pe,1} + (C_{pe,10} - C_{pe,1}) \cdot \log_{10}A \quad (D.4)$$

siendo:

$C_{pe,10}$ coeficiente de presión exterior para elementos con un área de influencia $A \geq 10 \text{ m}^2$

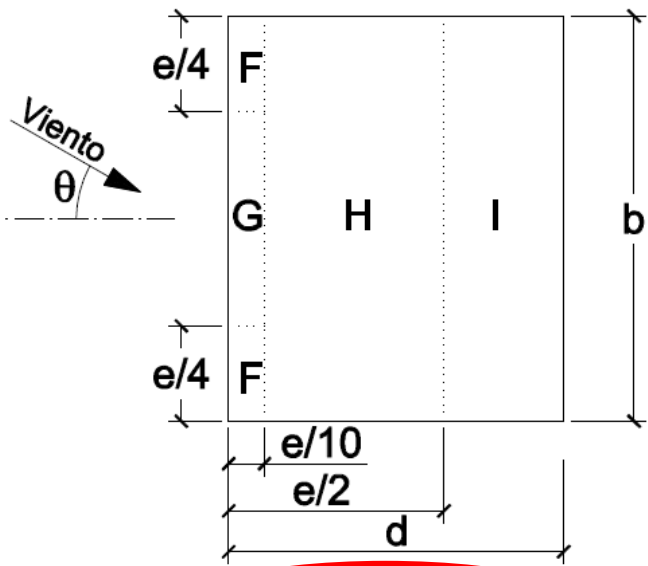
$C_{pe,1}$ coeficiente de presión exterior para elementos con un área de influencia $A \leq 1 \text{ m}^2$

h_p/h	A (m ²)	Zona (según figura), $-45^\circ < \theta < 45^\circ$			
		F	G	H	I
	≥ 10	-1,8	-1,2	-0,7	0,2 -0,2
	≤ 1	-2,5	-2,0	-1,2	0,2 -0,2
0,025	≥ 10	-1,6	-1,1	-0,7	0,2 -0,2
	≤ 1	-2,2	-1,8	-1,2	0,2 -0,2
0,05	≥ 10	-1,4	-0,9	-0,7	0,2 -0,2
	≤ 1	-2,0	-1,6	-1,2	0,2 -0,2
0,10	≥ 10	-1,2	-0,8	-0,7	0,2 -0,2
	≤ 1	-1,8	-1,4	-1,2	0,2 -0,2



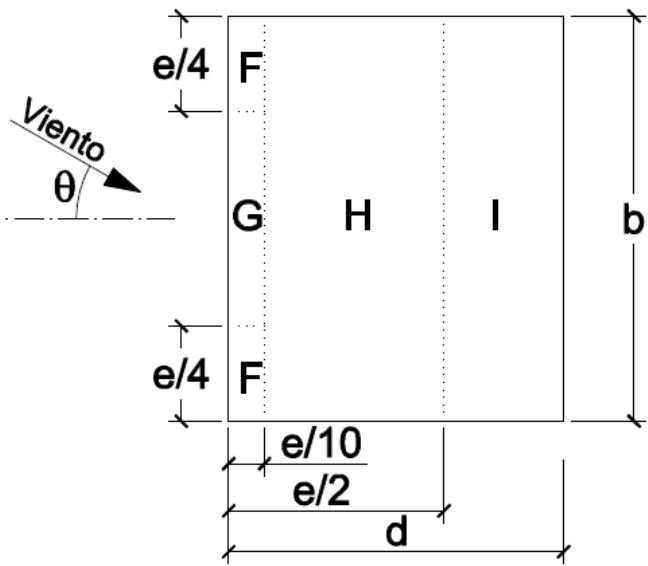
$$e = \min(b, 2h)$$

h_p/h	A (m ²)	Zona (según figura), $-45^\circ < \theta < 45^\circ$			
		F	G	H	I
	≥ 10	-1,8	-1,2	-0,7	0,2 -0,2
	≤ 1	-2,5	-2,0	-1,2	0,2 -0,2
0,025	≥ 10	-1,6	-1,1	-0,7	0,2 -0,2
	≤ 1	-2,2	-1,8	-1,2	0,2 -0,2
0,05	≥ 10	-1,4	-0,9	-0,7	0,2 -0,2
	≤ 1	-2,0	-1,6	-1,2	0,2 -0,2
0,10	≥ 10	-1,2	-0,8	-0,7	0,2 -0,2
	≤ 1	-1,8	-1,4	-1,2	0,2 -0,2



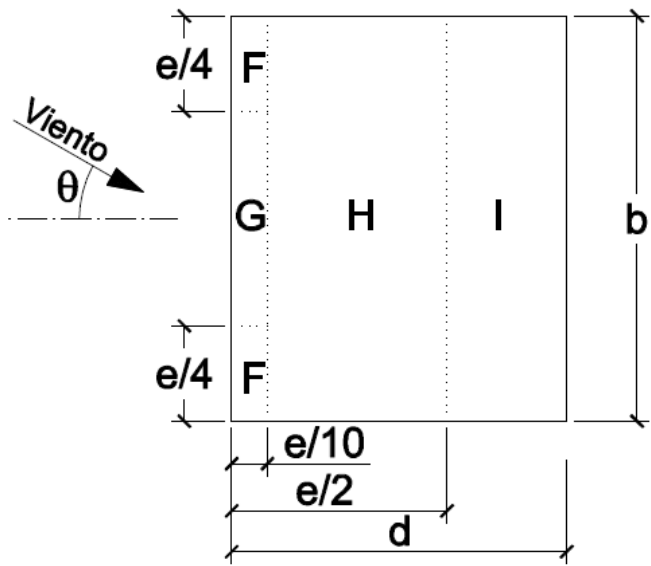
$$e = \min(b, 2h)$$

h_p/h	A (m ²)	Zona (según figura), $-45^\circ < \theta < 45^\circ$			
		F	G	H	I
	≥ 10	-1,8	-1,2	-0,7	0,2 -0,2
	≤ 1	-2,5	-2,0	-1,2	0,2 -0,2
0,025	≥ 10	-1,6	-1,1	-0,7	0,2 -0,2
	≤ 1	-2,2	-1,8	-1,2	0,2 -0,2
0,05	≥ 10	-1,4	-0,9	-0,7	0,2 -0,2
	≤ 1	-2,0	-1,6	-1,2	0,2 -0,2
0,10	≥ 10	-1,2	-0,8	-0,7	0,2 -0,2
	≤ 1	-1,8	-1,4	-1,2	0,2 -0,2



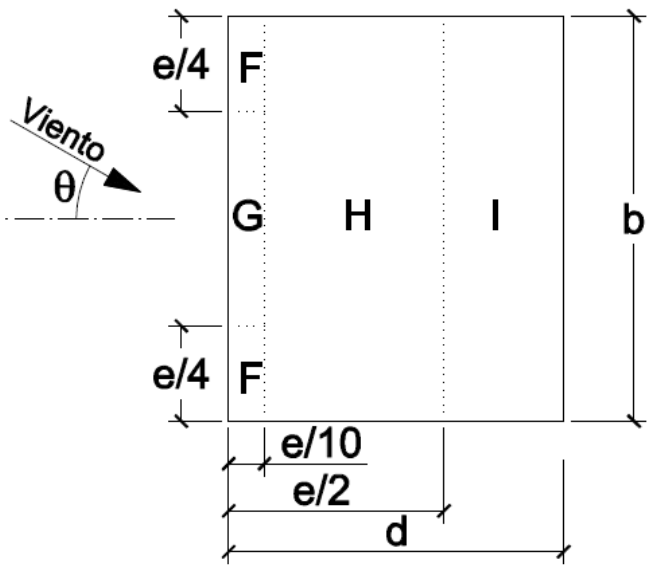
$$e = \min(b, 2h)$$

h_p/h	A (m ²)	Zona (según figura), $-45^\circ < \theta < 45^\circ$			
		F	G	H	I
→ ≥ 10	≥ 10	-1,0	-1,2	-0,7	0,2 -0,2
	≤ 1	-2,5	-2,0	-1,2	0,2 -0,2
0,025	≥ 10	-1,6	-1,1	-0,7	0,2 -0,2
	≤ 1	-2,2	-1,8	-1,2	0,2 -0,2
0,05	≥ 10	-1,4	-0,9	-0,7	0,2 -0,2
	≤ 1	-2,0	-1,6	-1,2	0,2 -0,2
0,10	≥ 10	-1,2	-0,8	-0,7	0,2 -0,2
	≤ 1	-1,8	-1,4	-1,2	0,2 -0,2



$$e = \min(b, 2h)$$

h_p/h	A (m ²)	Zona (según figura), $-45^\circ < \theta < 45^\circ$			
		F	G	H	I
→ ≥ 10	→	1,9	1,2	0,7	0,2 -0,2
	≤ 1	-2,5	-2,0	-1,2	0,2 -0,2
0,025	≥ 10	-1,6	-1,1	-0,7	0,2 -0,2
	≤ 1	-2,2	-1,8	-1,2	0,2 -0,2
0,05	≥ 10	-1,4	-0,9	-0,7	0,2 -0,2
	≤ 1	-2,0	-1,6	-1,2	0,2 -0,2
0,10	≥ 10	-1,2	-0,8	-0,7	0,2 -0,2
	≤ 1	-1,8	-1,4	-1,2	0,2 -0,2



$$e = \min(b, 2h)$$

h_p/h	A (m ²)	Zona (según figura), $-45^\circ < \theta < 45^\circ$			
		F	G	H	I
	≥ 10	-1,8	-1,2	-0,7	0,2 -0,2
	≤ 1	-2,5	-2,0	-1,2	0,2 -0,2
0,025	≥ 10	-1,6	-1,1	-0,7	0,2 -0,2
	≤ 1	-2,2	-1,8	-1,2	0,2 -0,2
0,05	≥ 10	1,1	-0,9	-0,7	0,2 -0,2
	≤ 1	-2,0	-1,6	-1,2	0,2 -0,2
0,10	≥ 10	1,2	-0,8	-0,7	0,2 -0,2
	≤ 1	-1,8	-1,4	-1,2	0,2 -0,2

OpenCourseWare

Teoría de Estructuras y Construcciones Industriales

Carlos Santiuste Romero, Sara Garzón Hernández, Liu Jiao Wang,
Manuel Cuadrado Sanguino, Luis Jiménez Girón, Daniel Herrero Adán

CTE: Coeficientes de presión en cubiertas planas

